

Fourierreihe

Lernziel der 4. Lerneinheit: WP 2 – Fourierreihe

In der **vierten Lerneinheit** finden wir den Einstieg in die Frequenzbereichsanalyse von Signalen.

- Wir betrachten zunächst die allgemeine Darstellung von Signalen mittels gewichteter Überlagerung orthogonaler Basisfunktionen und erläutern die besondere Bedeutung der Orthogonalität.
- Orthogonale Reihenentwicklungen sind bei der Analyse von Signalen und Systemen, aber auch in vielen technischen Anwendungen (z.B. bei der Verarbeitung von Signalen und bei der Datenkompression) von großer Bedeutung.
- Wir führen die Fourierreihenentwicklung als den Spezialfall einer Reihenentwicklung für periodischer Signale mittels trigonometrischer (d.h. Cosinus und Sinus) und komplexer Exponential-Funktionen ein.
- Wir lernen, dass die Fourierreihenkoeffizienten ein Maß dafür sind wie ähnliche die darzustellende Funktion zu der jeweiligen Basisfunktion bei ganzzahligen Vielfachen der Grundfrequenz ist.

Einstieg Fourieranalyse

- Zunächst betrachten wir den allgemeinen Fall: Die Darstellung von Funktionen als **Linearkombination orthogonaler Basisfunktionen**.
- In der Signalanalyse und in technischen Anwendungen sind orthogonale Reihendarstellungen von großer Bedeutung (z.B. **die Bildkompression und die Datenreduktion im maschinellen Lernen**).
- Die ursprüngliche Funktion wird in Form eines Vektors in einem Koordinatensystem orthogonaler Basisvektoren dargestellt.

Einstieg Fourieranalyse

Das über dem Intervall $[a, b]$ definierte Signal $x(t)$ wird als **Linearkombination** (unendliche Summe) orthogonaler Basisfunktionen, d.h. einer **Schar orthogonaler Funktionen** $\{\phi_k(t)\}_{k=-\infty}^{\infty}$, dargestellt.

$$x(t) = \lim_{N \rightarrow \infty} \sum_{k=-N}^N c_k \phi_k(t)$$

Die Linearkoeffizienten berechnen sich als:

$$c_k = \frac{1}{E_k} \int_a^b x(t) \phi_k^*(t) dt, \quad k = 0, \pm 1, \pm 2, \dots$$

mit einer positiven Normalisierungskonstante E_k .

Der Linearkoeffizient c_k ist ein Korrelationsmaß für die „**Ähnlichkeit**“ des Signals $x(t)$ mit der Basisfunktion $\phi_k(t)$.

Orthogonale Funktionen

Beispiel einer endlichen Reihenentwicklung

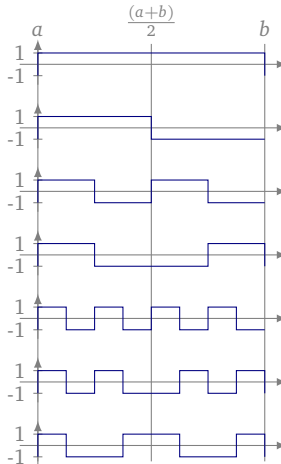


Abbildung: Haar-Wavelet als Beispiel einer Schar orthogonaler Basisfunktionen

Orthogonale Funktionen

Beispiel einer endlichen Reihenentwicklung

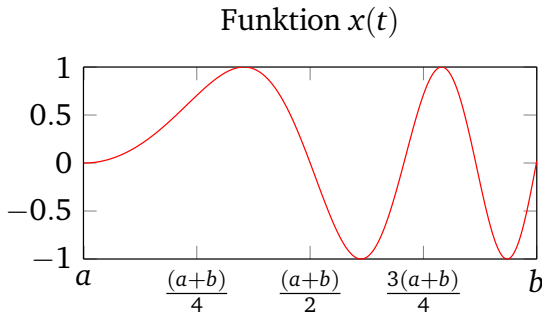


Abbildung: Zu approximierende Funktion

Orthogonale Funktionen

Beispiel einer endlichen Reihenentwicklung

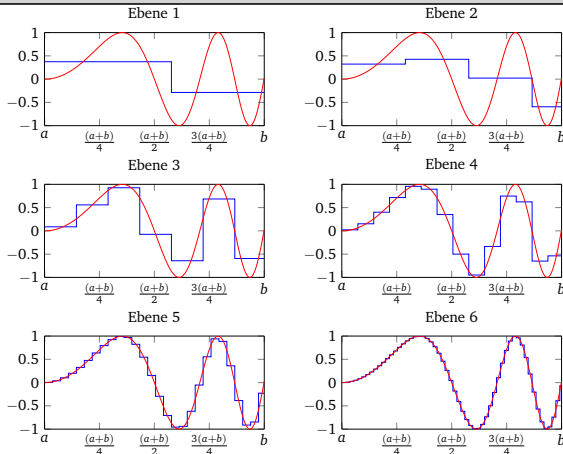


Abbildung: Die Approximation mit einer endlichen Anzahl von Basisfunktionen am Beispiel der Haar-Wavelets

Orthogonale Funktionen

Für orthogonale Basisfunktionen ergibt sich eine einfache Berechnung der Reihenoeffizienten $\{c_k\}_{k=-\infty}^{\infty}$.

Orthogonalität: Die Elemente der Funktionsschar $\{\phi_k(t)\}_{k=-\infty}^{\infty}$, definiert über dem Intervall $[a, b]$, sind orthogonal, wenn gilt:

$$\begin{aligned}\int_a^b \phi_l(t) \phi_k^*(t) dt &= \begin{cases} E_k, & l = k \\ 0, & l \neq k \end{cases} \\ &= E_k \delta[l - k],\end{aligned}$$

wobei die (diskrete) Kronecker-Delta Funktion als

$$\delta[k] = \begin{cases} 1, & k = 0 \\ 0, & \text{anderswo.} \end{cases}$$

definiert ist.

Einstieg Fourieranalyse

Der Reihenkoeffizient c_k ist ein Korrelationsmaß für die „Ähnlichkeit“ des Signals $x(t)$ mit der Basisfunktion $\phi_k(t)$.

Transformationspaar:

$$x(t) = \sum_{k=-\infty}^{\infty} c_k \phi_k(t); \quad c_k = \frac{1}{E_k} \int_a^b x(t) \phi_k^*(t) dt, \quad k = 0, \pm 1, \pm 2, \dots$$

Nachweis der Transformationsbeziehung durch Multiplikation mit $\phi_k^*(t)$ und Integration bzgl. t :

$$\begin{aligned} \frac{1}{E_k} \int_a^b x(t) \phi_k^*(t) dt &= \frac{1}{E_k} \int_a^b \sum_{l=-\infty}^{\infty} c_l \phi_l(t) \phi_k^*(t) dt = \frac{1}{E_k} \sum_{l=-\infty}^{\infty} c_l \int_a^b \phi_l(t) \phi_k^*(t) dt \\ &= \frac{E_k}{E_k} \sum_{l=-\infty}^{\infty} c_l \delta[k - l] = c_k \end{aligned}$$

Trigonometrischen Funktionen

Orthogonalität

Die trigonometrischen Funktionen $\{\phi_n(t) = \cos(\omega_0 nt)\}_{n=0}^{\infty}$ und $\{\phi_{-n}(t) = \sin(\omega_0 nt)\}_{n=1}^{\infty}$ erfüllen die Orthogonalitätseigenschaften:

$$\int_{-T_0/2}^{T_0/2} \sin(\omega_0 mt) \sin(\omega_0 nt) dt = \begin{cases} 0, & m \neq n \\ \frac{T_0}{2}, & m = n \end{cases}$$
$$\int_{-T_0/2}^{T_0/2} \cos(\omega_0 mt) \cos(\omega_0 nt) dt = \begin{cases} 0, & m \neq n \\ \frac{T_0}{2}, & m = n \end{cases}$$

und

$$\int_{-T_0/2}^{T_0/2} \sin(\omega_0 mt) \cos(\omega_0 nt) dt = 0, \quad \forall m, n \in \mathbb{N},$$

wobei $\int_{-T_0/2}^{T_0/2} \bullet dt$ die Integration über eine Periodendauer T_0 der Grundfrequenz ω_0 bezeichnet ($T = \frac{2\pi}{\omega_0}$).

Fourierreihendarstellung eines periodischen Signals: Die Trigonometrische Fourierreihe

Ein reellwertiges periodisches Signal $x(t)$ mit der Periodendauer T_0 und Grundfrequenz $\omega_0 = \frac{2\pi}{T_0}$ lässt sich als Linearkombination der trigonometrischer Funktionen

$$\begin{aligned}\phi_n(t) &= \cos(\omega_0 n t) \quad \text{für } n = 0, 1, 2, 3, \dots \\ \text{und } \phi_{-n}(t) &= \sin(\omega_0 n t) \quad \text{für } n = 1, 2, 3, 4, \dots\end{aligned}$$

ausdrücken.

Die Trigonometrische Fourierreihenentwicklung des Signals $x(t)$ ist

$$x(t) = \frac{a_0}{2} + \sum_{n=1}^{\infty} a_n \cos(\omega_0 n t) + \sum_{n=1}^{\infty} b_n \sin(\omega_0 n t), \quad -\infty < t < \infty,$$

wobei $\{a_n\}_{n=0}^{\infty}$ und $\{b_n\}_{n=1}^{\infty}$ die zugehörigen Fourierkoeffizienten sind.

Berechnung der Fourierkoeffizienten

Die Fourierkoeffizienten der trigonometrischen Fourierreihe

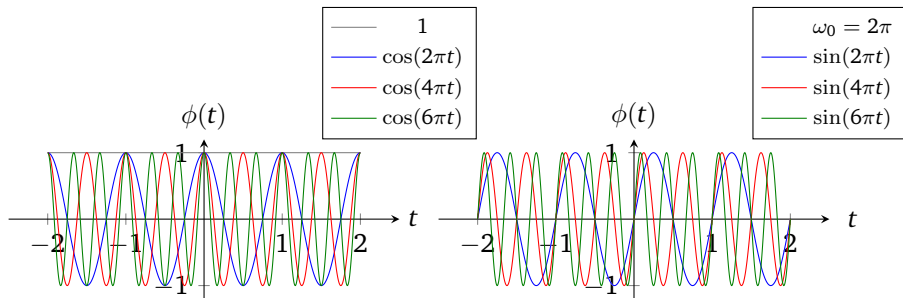
$$x(t) = \frac{a_0}{2} + \sum_{n=1}^{\infty} a_n \cos(\omega_0 n t) + \sum_{n=1}^{\infty} b_n \sin(\omega_0 n t)$$

werden über die Integrale:

$$a_n = \frac{2}{T_0} \int_{-T_0/2}^{T_0/2} x(t) \cos(\omega_0 n t) dt$$
$$b_n = \frac{2}{T_0} \int_{-T_0/2}^{T_0/2} x(t) \sin(\omega_0 n t) dt$$

berechnet.

Darstellung der orthogonale Basisfunktionen für verschiedene Ordnungen



Cosinus als Überlagerung komplexer Zeiger (negativer und positiver Frequenz)

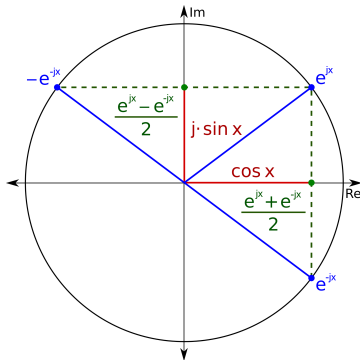
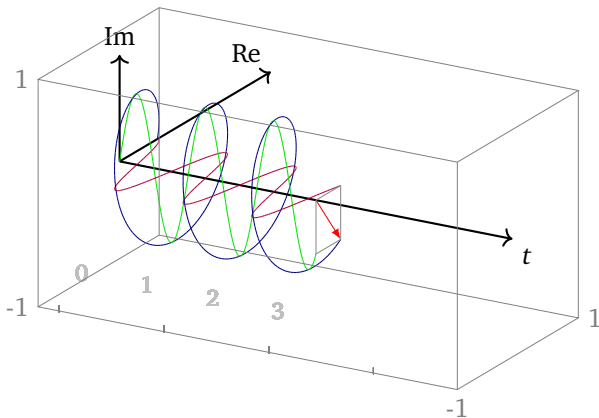


Abbildung: Darstellung einer komplexen Exponentialfunktion mittels Sinus und Cosinus-Funktionen

Die komplexe Exponentialfunktion



Phasor Animation

Komplexe Fourierreihe

- Die Familie der **komplexen Exponentialfunktionen**

$$\phi_k(t) = e^{j\omega_0 kt} = \cos(\omega_0 kt) + j \sin(\omega_0 kt) \quad \text{für } k \in \mathbb{Z}$$

stellt ebenfalls einer Schar **orthogonaler Basisfunktionen** dar.

$$\begin{aligned} \text{Orthogonalität: } \int_0^{T_0} e^{j\omega_0 kt} e^{-j\omega_0 lt} dt &= \int_{-T_0/2}^{T_0/2} e^{j\omega_0 (k-l)t} dt = \begin{cases} T_0, & l = k \\ 0, & l \neq k \end{cases} \\ &= T_0 \delta[l - k] \end{aligned}$$

Fourierreihenentwicklung mittels komplexer Exponentialfunktionen

Das komplexwertige periodische Signal $x(t)$, mit Periodendauer T_0 und Grundfrequenz $\omega_0 = \frac{2\pi}{T_0}$, lässt sich als komplexwertige Fourierreihe entwickeln:

$$x(t) = \sum_{n=-\infty}^{\infty} c_n e^{j\omega_0 n t}.$$

Die zugehörigen Fourierkoeffizienten sind durch

$$c_n = \frac{1}{T_0} \int_{-T_0/2}^{T_0/2} x(t) e^{-j\omega_0 n t} dt, \quad n \in \mathbb{N},$$

gegeben.

Fourierreihenentwicklung mittels trigonometrischer und komplexer Exponentialfunktionen

Die trigonometrischen Funktionen und die komplexen Exponentialfunktion eignen sich besonders gut als Basisfunktionen für die Reihendarstellung von alltäglichen Messsignalen, da sie:

- periodisch sind,
- mathematisch einfach handhabbar sind,
- und physikalisch anschauliche Interpretationen ermöglichen.

Beispiel: Fourierreihenentwicklung des Rechtecksimpulszugs

$$x(t) = \begin{cases} 0, & -T_0/2 < t < -\tau/2 \\ K, & -\tau/2 < t < \tau/2 \\ 0, & \tau/2 < t < T_0/2 \end{cases} \quad x(t) = x(t + T_0)$$

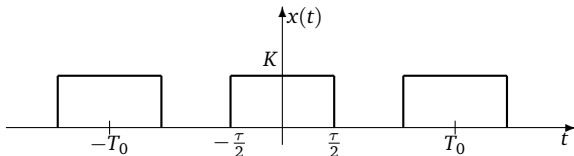


Abbildung: Rechtecksimpulszug, $x(t)$.

Idealisierte Signale dieser Art sind als Modellvorstellungen für reale Signale weit verbreitet (z.B, Pulsgenerator, Optischer Drehzahlmesser,...).

Beispiel: Fourierreihenentwicklung des Rechtecksimpulszugs

$$\begin{aligned}c_n &= \frac{1}{T_0} \int_{-T_0/2}^{T_0/2} x(t) e^{-j\omega_0 n t} dt, \quad \omega_0 = \frac{2\pi}{T_0} \\&= \frac{1}{T_0} \int_{-\tau/2}^{\tau/2} K e^{-j\omega_0 n t} dt = \frac{K}{T_0} \frac{1}{\omega_0 n} j \left[e^{-j\frac{\omega_0 n \tau}{2}} - e^{+j\frac{\omega_0 n \tau}{2}} \right] \\&= -\frac{j}{2\pi n} K 2j \sin\left(\frac{\omega_0 n \tau}{2}\right) = \frac{K}{\pi n} \sin\left(\frac{\pi n \tau}{T_0}\right) = \frac{K\tau T_0}{\pi n \tau T_0} \sin\left(\frac{\pi n \tau}{T_0}\right) \\&= \frac{K\tau}{T_0} \operatorname{si}\left(\pi \frac{n \tau}{T_0}\right) = \frac{K\tau}{T_0} \operatorname{sinc}\left(\frac{n \tau}{T_0}\right)\end{aligned}$$

wobei

$$\operatorname{si}(x) = \frac{\sin(x)}{x} \quad \text{und} \quad \operatorname{sinc}(x) = \frac{\sin(\pi x)}{\pi x}.$$

Fourierkoeffizienten des Rechtecksimpulszug

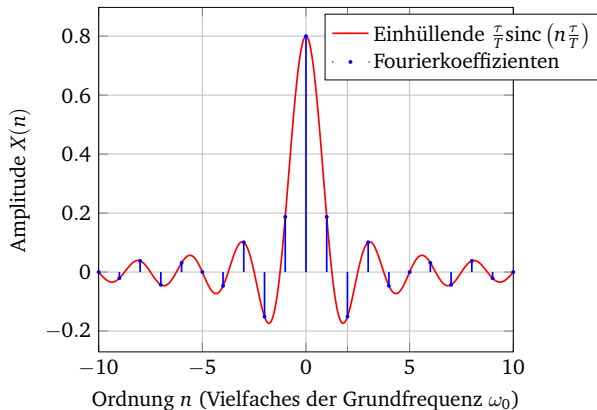


Abbildung: Fourierkoeffizienten $c_n e^{j\omega_0 n t}$ für $\frac{\tau}{T_0} = 0.8, K = 1$

Darstellung der Fourierkoeffizienten im Frequenzbereich: Interpretation

- Das **Amplitudenspektrum**, $|c_n|$, stellt die Amplitude (bzw. den Betrag) der Fourierkoeffizienten gegen den Frequenzindex n dar.
- Der **Phasengang**, $\arg c_n$, stellt die Phase (das komplexe Argument) der Fourierkoeffizienten gegen den Frequenzindex n dar.

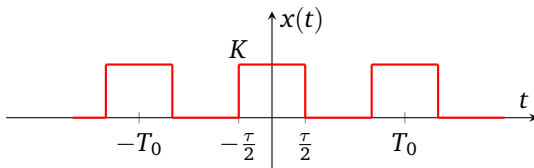
Die Spektralkomponenten (**Spektrallinien**) stellen die Signalanteile bei positiven und „negativen“ Frequenzen dar.

Bei **reellwertigen** Zeitsignalen ist das Amplitudenspektrum **gerade** und das Phasenspektrum **ungerade**.

Beispiel: Rechtecksimpulszug

Gegeben sei das mit T_0 periodische Zeitsignal

$$x(t) = \sum_{n=-\infty}^{\infty} K r_{\frac{\tau}{2}}(t - nT_0).$$



Da das Signal $x(t)$ periodisch ist, lässt es sich als Fourierreihe mit der Grundfrequenz $\omega_0 = \frac{2\pi}{T_0}$ darstellen.

$$x(t) = \sum_{n=-\infty}^{\infty} c_n e^{j\omega_0 n t}.$$

Zusammenhang zwischen Zeit- und Frequenzbereich

Anhand der Ergebnisse der Berechnung der Fourierreihenkoeffizienten des Rechtecksimpulszugs lassen sich grundlegende Eigenschaften der Fourierreihenentwicklung erkennen:

1. Für konstantes T_0 nimmt die Breite der Einhüllenden des Amplitudenspektrums (d.h. die Bandbreite) mit **abnehmender Pulsbreite τ** zu.
2. Für einen konstanten Wert von τ nimmt der Abstand ω_0 zwischen den Spektrallinien gemäß $\omega_0 = \frac{2\pi}{T_0}$ **mit steigender Periodendauer T_0** von $x(t)$ ab.

Symmetrieeigenschaft der Fourierkoeffizienten reellwertiger Funktionen

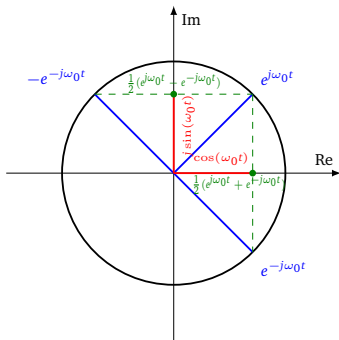
Gegeben sei ein reellwertiges periodisches Signal mit der Periodendauer $T_0 = \frac{2\pi}{\omega_0}$.

Die komplexwertigen Fourierreihenkoeffizienten weisen dann folgende Symmetrie auf:

$$\begin{aligned} c_n^* &= \left[\frac{1}{T_0} \int_{-T_0/2}^{T_0/2} x(t) e^{-j\omega_0 n t} dt \right]^* \\ &= \frac{1}{T_0} \int_{-T_0/2}^{T_0/2} x(t) e^{j\omega_0 n t} dt = c_{-n} \end{aligned}$$

$$|c_n^*| = |c_{-n}| = |c_n| \text{ und } \arg c_n^* = -\arg c_n = \arg c_{-n}$$

$$\text{Für } \operatorname{Re} c_n \geq 0 \text{ gilt: } \arg c_n = \arctan \frac{\operatorname{Im} c_n}{\operatorname{Re} c_n}$$



Zusammenhang zwischen trigonometrischer und komplexer Fourierreihe

Wir betrachten die komplexe Fourierreihe des reellwertigen Signals $x(t)$:

$$\begin{aligned}x(t) &= c_0 + \sum_{n=-\infty}^{-1} c_n e^{j\omega_0 n t} + \sum_{n=1}^{\infty} c_n e^{j\omega_0 n t} \\&= c_0 + \sum_{n=1}^{\infty} (c_n^* e^{-j\omega_0 n t} + c_n e^{j\omega_0 n t}) \\&= c_0 + \sum_{n=1}^{\infty} 2 \operatorname{Re}\{c_n e^{j\omega_0 n t}\} \\&= c_0 + \sum_{n=1}^{\infty} [2 \operatorname{Re}\{c_n\} \cos(\omega_0 n t) - 2 \operatorname{Im}\{c_n\} \sin(\omega_0 n t)]\end{aligned}$$

Zusammenhang zwischen trigonometrischer und komplexer Fourierreihe

Das reellwertige Signal $x(t)$ lässt sich also wie folgt mittels seiner komplexen Fourierreihenoeffizienten ausdrücken:

$$x(t) = c_0 + \sum_{n=1}^{\infty} [2 \operatorname{Re}\{c_n\} \cos(\omega_0 n t) - 2 \operatorname{Im}\{c_n\} \sin(\omega_0 n t)]$$

Daher gilt folgende Beziehung zwischen den Koeffizienten der komplexen und der trigonometrischen Fourierreihe:

$$a_n = 2 \operatorname{Re}\{c_n\} = \frac{2}{T_0} \int_{-T_0/2}^{T_0/2} x(t) \cos(\omega_0 n t) dt \in \mathbb{R}$$
$$b_n = -2 \operatorname{Im}\{c_n\} = \frac{2}{T_0} \int_{-T_0/2}^{T_0/2} x(t) \sin(\omega_0 n t) dt \in \mathbb{R}$$

Fourierkoeffizienten reellwertiger Funktionen

Weitere Vereinfachungen ergeben sich, wenn $x(t)$ eine gerade reellwertige Funktion ist (d.h. wenn $x(t) = x(-t)$).

In diesem Fall sind auch die Fourierkoeffizienten $\{c_n\}_{n=-\infty}^{\infty}$ rein reellwertig.

$$c_n = \frac{1}{T_0} \int_{-\frac{T_0}{2}}^{\frac{T_0}{2}} x(t) e^{-j\omega_0 n t} dt = \frac{1}{T_0} \left[\int_{-\frac{T_0}{2}}^{\frac{T_0}{2}} x(t) \cos(\omega_0 n t) dt - \underbrace{j \int_{-\frac{T_0}{2}}^{\frac{T_0}{2}} x(t) \sin(\omega_0 n t) dt}_{=0} \right]$$

Fourierkoeffizienten reellwertiger Funktionen

$$c_n = \frac{1}{T_0} \int_{-\frac{T_0}{2}}^{\frac{T_0}{2}} x(t) e^{-j\omega_0 n t} dt = \frac{1}{T_0} \left[\int_{-\frac{T_0}{2}}^{\frac{T_0}{2}} x(t) \cos(\omega_0 n t) dt - j \underbrace{\int_{-\frac{T_0}{2}}^{\frac{T_0}{2}} x(t) \sin(\omega_0 n t) dt}_{=0} \right]$$

Da $x(t)$ **gerade** ist und das Produkt einer geraden und einer ungeraden Funktion ungerade ist, ist der Integral $x(t) \sin(\omega_0 n t)$ des zweiten Integrals ungerade.

Das Integral einer ungeraden Funktion verschwindet über einem um $t = 0$ symmetrischen Intervall.

Ebenso ist c_n rein imaginärwertig (d.h. $\operatorname{Re}\{c_n\} = 0$), wenn $x(t)$ reellwertig und **ungerade** ist.

Konvergenz der Fourierreihe

Lernziel der 5. Lerneinheit: WP 2 – Konvergenz der Fourierreihe

In der **fünften Lerneinheit** beantworten wir die wichtige Frage, unter welchen Bedingungen sich Signale **exakt** als Fourierreihe entwickeln lassen.

- Das führt uns auf die unterschiedlich starken Konvergenzbegriffe, d.h. die **gleichmäßigen-** und der **punktweisen Konvergenz**,
- und die **Dirichlet-Bedingungen** die **hinreichend** (aber nicht notwendig) für die Konvergenz der Fourierreihe sind.
- Wir lernen, dass die Fourierreihe eines „**hinreichend glatten**“ Signals $x(t)$ überall dort wo das Signal **stetig** ist **gleichmäßig** gegen $x(t)$ **konvergiert** und an den **Sprungstellen** **punktweise** gegen den **Mittelwert** des **links- und rechtsseitigen Grenzwerts** konvergiert.

Konvergenz der Fourierreihenentwicklung

Die Fourierreihenentwicklung, d.h. die unendliche Summe

$$x(t) = \frac{a_0}{2} + \sum_{n=1}^{\infty} a_n \cos(\omega_0 n t) + \sum_{n=1}^{\infty} b_n \sin(\omega_0 n t), \quad -\infty < t < \infty$$

konvergiert nicht notwendigerweise gegen $x(t)$.

D.h., die Fourierreihe existiert nicht für alle periodischen Signale.

Die im Folgenden beschriebenen Konvergenzbedingungen müssen erfüllt sein.

Endliche Fourierreihe

Wir definieren die Funktionsfolge $x_N(t)$ für $N \in \mathbb{N}$ als endlichen Fourierreihe von $x(t)$:

$$x_N(t) = \frac{a_0}{2} + \sum_{n=1}^N a_n \cos(\omega_0 n t) + \sum_{n=1}^N b_n \sin(\omega_0 n t)$$

Da die Reihenentwicklung bei **endlichem** N abgebrochen wird, stellt $x_N(t)$ in der Regel nur eine **Approximation** des Signals $x(t)$ dar.

Die **Approximation** wird mit steigendem N , d.h., mit der **Anzahl der Summanden** in der Reihenentwicklung, immer **genauer**.

Anschließend lassen wir N immer größer werden und interessieren uns für den Approximationsfehler im Grenzwert, wenn $N \rightarrow \infty$.

Konvergenzkriterien der Fourierreihe – Zwei verschiedene Konvergenzarten von Funktionsfolgen

$$x_N(t) = \frac{a_0}{2} + \sum_{n=1}^N a_n \cos(\omega_0 n t) + \sum_{n=1}^N b_n \sin(\omega_0 n t)$$

Punktweise Konvergenz: Die Funktionsfolge $x_N(t)$ **konvergiert** an der Stelle $t \in \mathcal{D}$ **punktweise** gegen $x(t)$, wenn **für jedes** $\epsilon_t > 0$ **ein** N_0 **existiert**, so dass für alle $N \geq N_0$:

$$|x_N(t) - x(t)| \leq \epsilon_t.$$

Gleichmäßige Konvergenz: Die Funktionsfolge $x_N(t)$ **konvergiert** über einem Definitionsbereich \mathcal{D} **gleichmäßig** gegen $x(t)$, wenn **für jedes** $\epsilon > 0$ **ein** N_0 **existiert**, so dass **für alle** t in \mathcal{D} und $N \geq N_0$:

$$|x_N(t) - x(t)| \leq \epsilon.$$

Endliche Fourierreihe: Konvergenzkriterien

$$a_0 = 1, \quad a_k = 0, \quad b_k = \frac{1}{\pi k} (1 - (-1)^k)$$

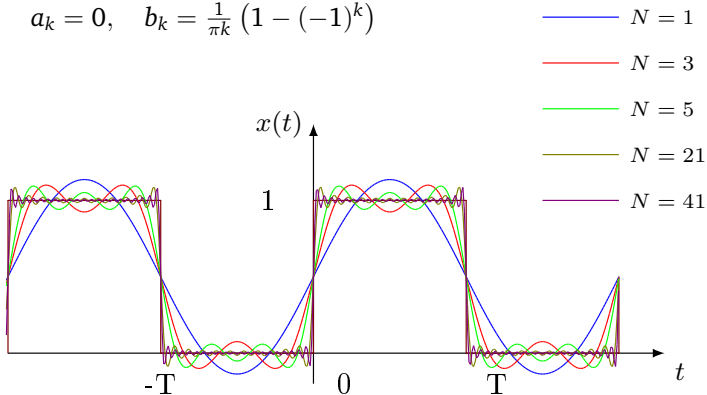


Abbildung: Gibbs'sches Phänomen

Konvergenzkriterien Animation

Kriterium zur gleichmäßigen Konvergenz

Es sei $x(t)$ eine auf dem Intervall $[a, b]$ **stetig** und **stückweise stetig differenzierbare** Funktion, dann **konvergiert** die Fourierreihe auf (a, b) **gleichmäßig** gegen $x(t)$.

Gleichmäßige Konvergenz gilt nicht an Sprungstellen.

Gibbs'schen Phänomen: Das Gibbs'sche Phänomen beschreibt die Eigenschaft der Fourierreihe an Sprungstellen um ca. 9% überzuschwingen.

An Sprungstellen gilt lediglich die **punktweise** Konvergenz aber keine gleichmäßige Konvergenz (bei geeigneter Definition der Funktionswerte an den Sprungstellen).

Dirichlet Bedingungen

Wenn das mit T_0 periodische Signal $x(t)$

- (i) über einer Periode T_0 absolut integrierbar ist, d.h.

$$\int_{\tau}^{\tau+T_0} |x(t)| dt < \infty \quad ,$$

und innerhalb einer Periode

- (ii) eine endliche Anzahl von Maxima und Minima besitzt,

(iii) und eine endliche Anzahl von Sprungstellen aufweist,
dann konvergiert die Fourierreihe:

1. überall dort wo $x(t)$ stetig und stetig differenzierbar ist, **gleichmäßig** gegen $x(t)$.
2. an den Sprungstellen und Stellen an denen $x(t)$ nicht stetig differenzierbar ist, **punktweise** gegen den Mittelwert des links- und rechtseitigen Grenzwerts.

Dirichlet Bedingungen

D.h. punktweise Konvergenz gilt, wenn $x(t)$ an der Sprungstelle bei t_0 als:

$$x(t_0) = \frac{1}{2}[x(t_0^+) + x(t_0^-)].$$

definiert ist, wobei

$$x(t_0^+) = \lim_{\substack{t \rightarrow t_0 \\ t > t_0}} x(t)$$

$$x(t_0^-) = \lim_{\substack{t \rightarrow t_0 \\ t < t_0}} x(t).$$

Die Dirichlet Bedingungen sind **hinreichend** aber nicht notwendig.

Eigenschaften der Fourierreihe

Parseval's Theorem

Die mittlere Leistung eines periodischen Signals $x(t)$ mit der Periodendauer T_0 und Grundfrequenz $\omega_0 = \frac{2\pi}{T_0}$ ist:

$$P = \frac{1}{T_0} \int_{-T_0/2}^{T_0/2} |x(t)|^2 dt = \frac{1}{T_0} \int_{-T_0/2}^{T_0/2} x(t)x^*(t) dt,$$

Unter Verwendung der Fourierreihenentwicklung ergibt sich:

$$\begin{aligned} P &= \frac{1}{T_0} \int_{-T_0/2}^{T_0/2} x(t) \left(\sum_{n=-\infty}^{\infty} c_n^* e^{-j\omega_0 n t} \right) dt \\ &= \sum_{n=-\infty}^{\infty} c_n^* \left[\frac{1}{T_0} \int_{-T_0/2}^{T_0/2} x(t) e^{-j\omega_0 n t} dt \right] = \sum_{n=-\infty}^{\infty} c_n^* c_n = \sum_{n=-\infty}^{\infty} |c_n|^2, \end{aligned}$$

Parseval's Theorem

$$P = \frac{1}{T_0} \int_{-T_0/2}^{T_0/2} |x(t)|^2 dt = \sum_{n=-\infty}^{\infty} |c_n|^2.$$

- Die mittlere Leistung eines periodischen Signals ergibt sich als Summe der Leistungen (Quadrate) seiner Fourierkoeffizienten.
- Das Parseval Theorem gilt für alle Signaldarstellungen mittels orthogonaler Basisfunktionen.

Darstellung periodischer Signale im Frequenzbereich

Lernziel der 6. Lerneinheit: WP 2 – Darstellung der Fourierreihe im Frequenzbereich

In der 6. Lerneinheit nutzen wir die Fourierreihenentwicklung um Signale im Frequenzbereich darzustellen.

- Die **Fourierreihenkoeffizienten** geben an mit welcher „Intensität“ das jeweilige „**ganzzahligen Vielfache der Grundfrequenz**“ im Signal enthalten ist.
- Mithilfe der **komplexen Fourierkoeffizienten** lassen sich Signale als **Linienpektrum** (d.h. **Betrag**) und (diskreten) **Phasengang** gegen die diskreten **Frequenzen** darstellen.
- Unter den zuvor betrachteten **Konvergenzbedingungen** ist die **Frequenzbereichsdarstellung** mithilfe der Fourierkoeffizienten **äquivalent** zu der **Zeitbereichsdarstellung**, d.h., bei der Transformation geht keine Information verloren.
- Wir betrachten die **Frequenzbereichsdarstellung** in LTI-Systemen und erkennen, dass die **komplexen Exponentialfunktionen Eigenfunktionen** von **LTI-Systemen** sind, die das System ohne Verzerrung und lediglich mit einer komplexwertigen Dämpfung passieren.

Darstellung der Fourierkoeffizienten im Frequenzbereich

Die Fourierreihe eines mit T_0 periodischen Signals $x(t)$ ist

$$x(t) = \sum_{n=-\infty}^{\infty} c_n e^{j\omega_0 n t}$$

Die zugehörigen Fourierkoeffizienten sind

$$c_n = \frac{1}{T_0} \int_{-T_0/2}^{T_0/2} x(t) e^{-j\omega_0 n t} dt.$$

Für reellwertige Signale $x(t)$ gilt die **Symmetriebeziehung**:

$$\begin{aligned} c_n^* &= c_{-n} \quad (\text{konjugiert-symmetrisch}) \\ |c_n| &= |c_{-n}| \quad (\text{gerade}) \\ \Theta_n &= -\Theta_{-n} \quad (\text{ungerade}). \end{aligned}$$

Beispiel: Periodische Rechtecksschwingung

Gesucht ist der Amplituden- und Phasengang der periodischen Rechtecksschwingung mit der Periodendauer $T = 2$.

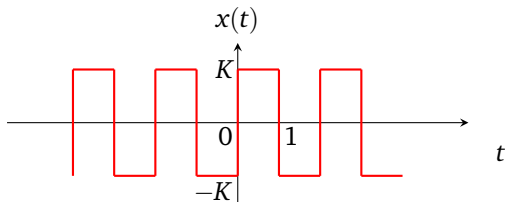


Abbildung: Periodische Rechtecksschwingung $x(t)$

$$x(t) = \begin{cases} -K, & -1 < t < 0 \\ K, & 0 < t < 1 \end{cases}, \quad K > 0$$

Beispiel: Periodische Rechtecksschwingung

Wegen $x(t) = x(t + 2)$ ist $T_0 = 2$ und $\omega_0 = 2\pi/2 = \pi$.

$$\begin{aligned}c_n &= \frac{1}{T_0} \int_{-\frac{T_0}{2}}^{\frac{T_0}{2}} x(t) e^{-j\omega_0 n t} dt \\&= \frac{1}{2} \int_{-1}^1 x(t) e^{-j\pi n t} dt = \frac{K}{2} \left[\int_0^1 e^{-j\pi n t} dt - \int_{-1}^0 e^{-j\pi n t} dt \right] \\&= \frac{jK}{2\pi n} \left\{ [e^{-j\pi n t}]_0^1 - [e^{-j\pi n t}]_{-1}^0 \right\} = \frac{K}{j\pi n} (1 - \cos \pi n) \\&= \begin{cases} \frac{2K}{j\pi n}, & n \text{ ungerade} \\ 0, & n \text{ gerade} \end{cases}\end{aligned}$$

Beispiel: Periodische Rechtecksschwingung

Das Signal $x(t)$ ist ungerade, daher sind die zugehörigen Fourierkoeffizienten rein imaginär-wertig.

Amplitudenspektrum:

$$|c_n| = \begin{cases} \frac{2K}{|n|\pi}, & n \text{ ungerade} \\ 0, & n \text{ gerade} \end{cases}$$

Phasengang;

$$\arg c_n = \begin{cases} -\frac{\pi}{2}, & n = 2m - 1, \quad m = 1, 2, \dots \\ 0, & n = 2m, \quad m = 0, \pm 1, \pm 2, \dots \\ \frac{\pi}{2}, & n = -(2m - 1), \quad m = 1, 2, \dots \end{cases}$$

Beispiel: Periodische Rechtecksschwingung

Amplitudenspektrum und Phasengang

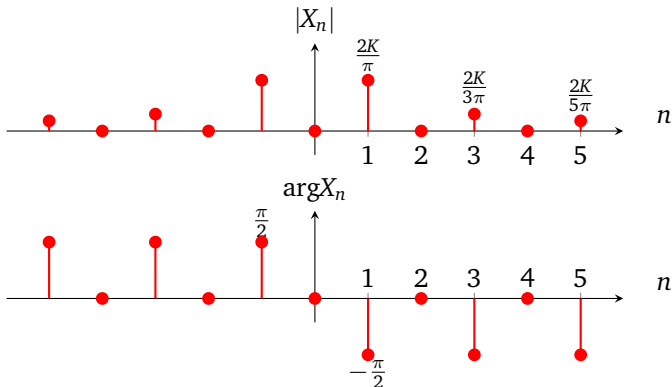


Abbildung: Amplitudenspektrum und Phasengang der Rechtecksschwingung $x(t)$

Beispiel: Periodische Rechtecksschwingung

- Das Amplitudenspektrum ist ein Linienspektrum. Es existiert nur bei ganzzahligen Werten n (ganzzahligen Vielfachen der Grundfrequenz).
- Das Amplitudenspektrum nimmt mit $\frac{1}{n}$ ab und ist gerade Funktion in n .
- Der Phasengang ist für $n < 0$ positiv (identisch $\frac{\pi}{2}$), für $n > 0$ negativ (identisch $-\frac{\pi}{2}$).
- Die komplexen Fourierkoeffizienten c_n sind rein **imaginär-wertig** und **konjugiert-symmetrisch** in n ($c_n = c_{-n}^*$).

Systeme mit periodischen Eingängen

LTI-Systeme mit periodischen Eingängen

Wir betrachten ein LTI-System mit Impulsantwort $h(t)$ und Eingangssignal $x(t)$

$$y(t) = \int_{-\infty}^{\infty} h(\tau)x(t - \tau) d\tau.$$

Der Systemausgang des LTI-Systems für ein periodisches Eingangssignal der Form $x(t) = e^{j\omega_0 t}$ ist:

$$\begin{aligned} y(t) &= \int_{-\infty}^{\infty} h(\tau)e^{j\omega_0(t-\tau)} d\tau \\ &= e^{j\omega_0 t} \underbrace{\int_{-\infty}^{\infty} h(\tau)e^{-j\omega_0 \tau} d\tau}_{H(j\omega_0)}. \end{aligned}$$

LTI-Systeme mit periodischen Eingängen

$$y(t) = H(j\omega_0)e^{j\omega_0 t}$$

$H(j\omega_0)$ ist eine allgemein komplexwertige Konstante (später definieren wir $H(j\omega)$ als die **Übertragungsfunktion** (Frequenzantwort) des Systems an der Frequenz ω).

$$H(j\omega) = \int_{-\infty}^{\infty} h(t)e^{-j\omega t} dt.$$

Nach Betrag und Phase aufgespalten: $H(j\omega_0) = |H(j\omega_0)|e^{j\Theta_H(\omega_0)}$:

- $|H(j\omega_0)|$ ist die **Amplitudenantwort** des Systems zur Kreisfrequenz ω_0 .
- $\Theta_H(\omega_0)$ ist die **Phasenantwort** des Systems zur Kreisfrequenz ω_0 .

Die Systemantwort auf eine komplexe Exponentialfunktion an der Frequenz ω_0 ist:

$$y(t) = |H(j\omega_0)|e^{j\Theta_H(\omega_0)}e^{j\omega_0 t} = |H(j\omega_0)|e^{j(\omega_0 t + \Theta_H(\omega_0))}.$$

LTI-Systeme mit periodischen Eingängen

- Die komplexe Harmonische $e^{j\omega_0 t}$ stellt eine **Eigenfunktion** eines LTI-Systems dar.
- Das System wirkt sich auf die Eigenfunktion lediglich in Form einer komplexen Skalierung der Eigenfunktion mit $H(j\omega_0)$ aus.
- Die Signalform des Eingangssignals $x(t)$ wird jedoch ansonsten nicht beeinflusst (verzerrt).

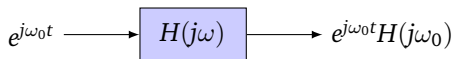


Abbildung: Übertragungsfunktion eines LTI-Systems

$$\mathcal{T}\{e^{j\omega_0 t}\} = e^{j\omega_0 t} \cdot H(j\omega_0)$$

LTI-Systeme mit periodischen Eingängen

- Die **Übertragungsfunktion**, $H(j\omega)$, an der Frequenz ω_0 kann als **Eigenwert** des Systems für die Eigenfunktion $e^{j\omega_0 t}$ aufgefasst werden.
- Der Eigenwert charakterisiert **eindeutig** die Antwort eines LTI-Systems auf eine komplexe Harmonische $e^{j\omega_0 t}$.

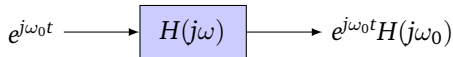


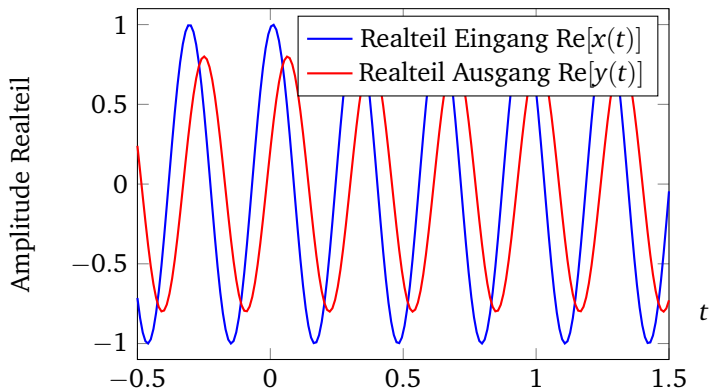
Abbildung: Übertragungsfunktion eines LTI-Systems

$$\mathcal{T}\{e^{j\omega_0 t}\} = e^{j\omega_0 t} \cdot H(j\omega_0)$$

LTI-Systeme mit periodischen Eingängen

Beispiel: Komplexe Harmonische am Eingang

$$x(t) = e^{j(\omega_0 t + \phi)}; \quad \phi = \frac{\pi}{3}; \quad H(j\omega_0) = 0.8e^{-j\frac{\pi}{2}}; \quad y(t) = 0.8e^{j(\omega_0 t + \phi - \frac{\pi}{2})}$$



LTI-Systeme mit periodischen Eingängen

Die **Systemantwort**, $y(t)$, eines LTI-Systems auf den periodischen Eingang $x(t)$ lässt sich aus der **Fourierreihenentwicklung** einfach bestimmen.

Das Signal $x(t)$ sei mit T_0 und $\omega_0 = \frac{2\pi}{T_0}$ periodisch.

$$x(t) = \sum_{n=-\infty}^{\infty} c_n e^{j\omega_0 n t}.$$

Für harmonische Eingänge $x(t)$ gilt in LTI-Systemen mit der Impulsantwort $h(t)$:

$$y(t) = \sum_{n=-\infty}^{\infty} \underbrace{H(n \cdot j \cdot \omega_0) c_n}_{Y_n} e^{j\omega_0 n t}.$$

LTI-Systeme mit periodischen Eingängen

Die **Systemantwort** $H(n \cdot j \cdot \omega_0)$ ist für jedes n eine komplexwertige Konstante.

Daher ist der Ausgang $y(t)$ genau wie der Eingang periodisch.

Die Fourierkoeffizienten des Signals $y(t)$ am Ausgang berechnen sich zu $Y_n = H(n \cdot j \cdot \omega_0) c_n$.

Die Periodendauer von $y(t)$ ist daher identisch mit der von $x(t)$.

Die Antwort eines LTI-Systems auf einen mit T_0 periodischen Eingang ist ebenfalls mit T_0 periodisch.

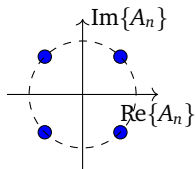
$$x(t) = \sum_{n=-\infty}^{\infty} c_n e^{j\omega_0 n t} \longrightarrow \boxed{H(n \cdot j \cdot \omega_0)} \longrightarrow y(t) = \sum_{n=-\infty}^{\infty} \underbrace{H(n \cdot j \cdot \omega_0) c_n}_{Y_n} e^{j\omega_0 n t}$$
$$\mathcal{T}\left\{ \sum_{n=-\infty}^{\infty} c_n e^{j\omega_0 n t} \right\} = \sum_{n=-\infty}^{\infty} \underbrace{H(n \cdot j \cdot \omega_0) c_n}_{Y_n} e^{n \cdot j \cdot \omega_0 t}$$

Beispiel: OFDM System

Orthogonal Frequency Division Multiplexing (OFDM): N Trägerfrequenzen $\{\omega_n\}_{n=1}^N$ zur digitalen Datenübertragung.

Information werden als komplex-wertige Symbole $\{A_n\}_{n=1}^N$ auf Träger $e^{j\omega_n t}$ moduliert.

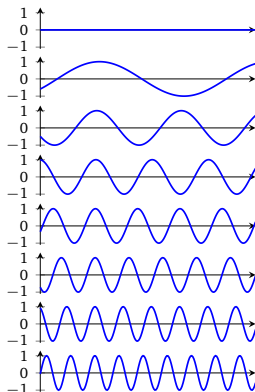
$$x(t) = \sum_{n=1}^{N-1} \underbrace{A_n}_{\text{Symbol}} \cdot \underbrace{e^{j\omega_n t}}_{\text{Träger bei Frequenz } \omega_n}$$



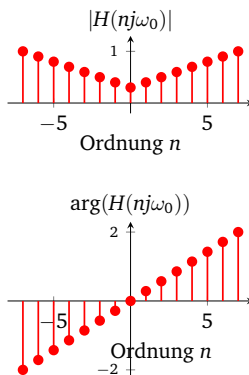
QPSK Konstellationsdiagramm

Beispiel: LTI-System

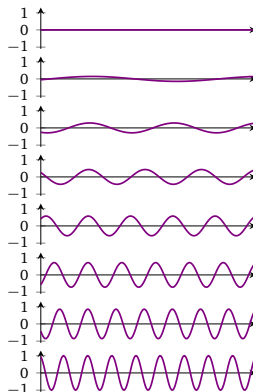
System Eingang



System



System Ausgang



Zusammenfassung der wichtigsten Ergebnisse

- Jedes **periodische Signal** lässt sich als **unendliche Summe** von Sinus- und Kosinussignalen darstellen, wobei die kleinste Periodendauer dieser trigonometrischen Funktionen gleich der kleinsten Periodendauer des darzustellenden periodischen Signals ist.
- Die trigonometrische Fourierreihenentwicklung stellt einen Sonderfall einer Reihendarstellung mittels orthogonaler Basisfunktionen dar.
- Die **Orthogonalitätseigenschaft** der Sinus- und Kosinusfunktionen bzw. der komplexen Exponentialfunktionen für verschiedene Ordnungen der Grundfrequenz ω_0 erlaubt es uns, die **Fourierreihenkoeffizienten** auf einfache Weise zu berechnen.

